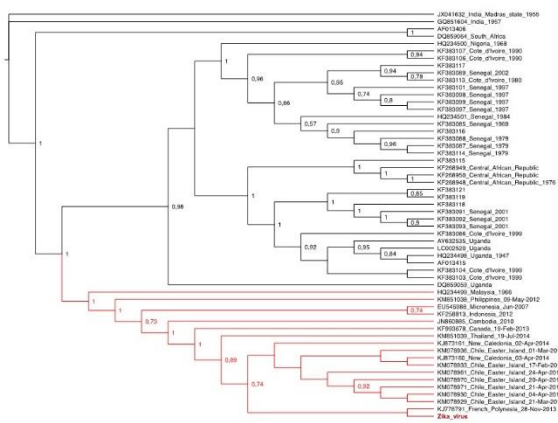




ZIKA VIRUS: ALÉM DA MICROCEFALIA



Adriana Melo

Instituto de Pesquisa Professor Joaquim Amorim Neto – IPESQ
UNIFACISA
Instituto de Saúde Elpidio de Almeida - ISEA

-
- O que é o IPESQ
 - Quem sou eu

- Zika virus is an arbovirus of the Flaviviridae Family. Its identification occurred in 1947 in Uganda
- The epidemic potential was perceived since 2007 in Micronesia; however, in 2013, mainly in the French Polynesia, a change in the pattern was observed, with high rates of attack, estimating the occurrence in 11% of the population
- In Brazil, since November 2014 and mainly in the beginning of 2015, the Northeast states reported a great outbreak of a new exanthematic disease.



First isolates

- Sentinels Rhesus 1947



TRANSACTIONS OF THE ROYAL SOCIETY OF
TROPICAL MEDICINE AND HYGIENE
Vol. 46. No. 5. September, 1952.

COMMUNICATIONS

ZIKA VIRUS

(I). ISOLATIONS AND SEROLOGICAL SPECIFICITY

BY

G. W. A. DICK,

The National Institute for Medical Research, London

S. F. KITCHEN,

Formerly staff member of the Division of Medicine and Public Health, The Rockefeller Foundation, New York, U.S.A.

AND

A. J. HADDOW,

Formerly staff member of International Health Division, The Rockefeller Foundation, New York, U.S.A.

(From the Virus Research Institute, Entebbe, Uganda.)

Human cases were not observed.

442

TRANSACTIONS OF THE ROYAL SOCIETY OF
TROPICAL MEDICINE AND HYGIENE.
Vol. 50. No. 5. September, 1956.



ZIKA VIRUS INFECTION EXPERIMENTALLY INDUCED IN A HUMAN
VOLUNTEER

BY

W. G. C. BEARCROFT*

West African Council for Medical Research Laboratories, Lagos, Nigeria.

TRANSACTIONS OF THE ROYAL SOCIETY OF
TROPICAL MEDICINE AND HYGIENE,
Vol. 58, No. 4, July, 1964.

COMMUNICATIONS

ZIKA VIRUS INFECTION IN MAN

BY

D. I. H. SIMPSON*

(From the East African Virus Research Institute, Entebbe, Uganda)

Low fever and headache

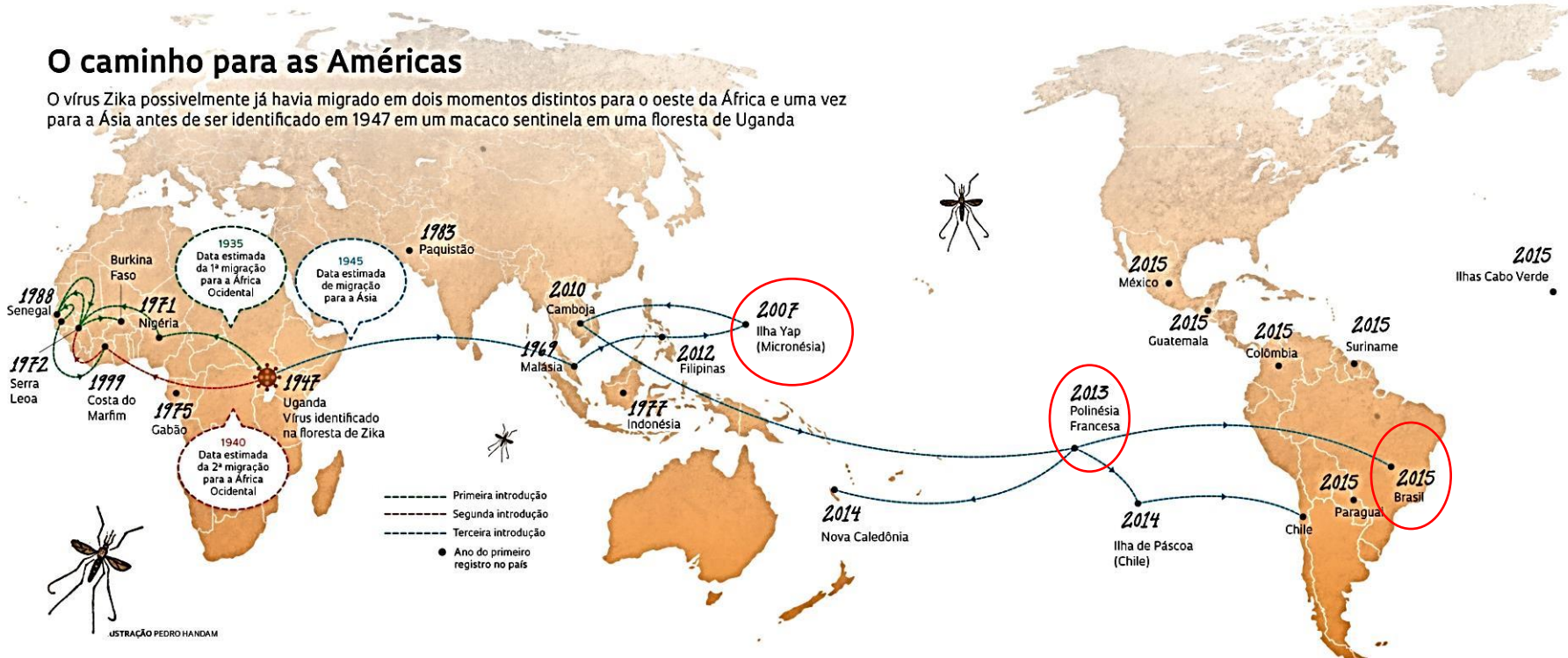
Low fever, headache and rash

Zika outbreak

IPEEQ

O caminho para as Américas

O vírus Zika possivelmente já havia migrado em dois momentos distintos para o oeste da África e uma vez para a Ásia antes de ser identificado em 1947 em um macaco sentinelas em uma floresta de Uganda



New Burst of Zika virus in Americas

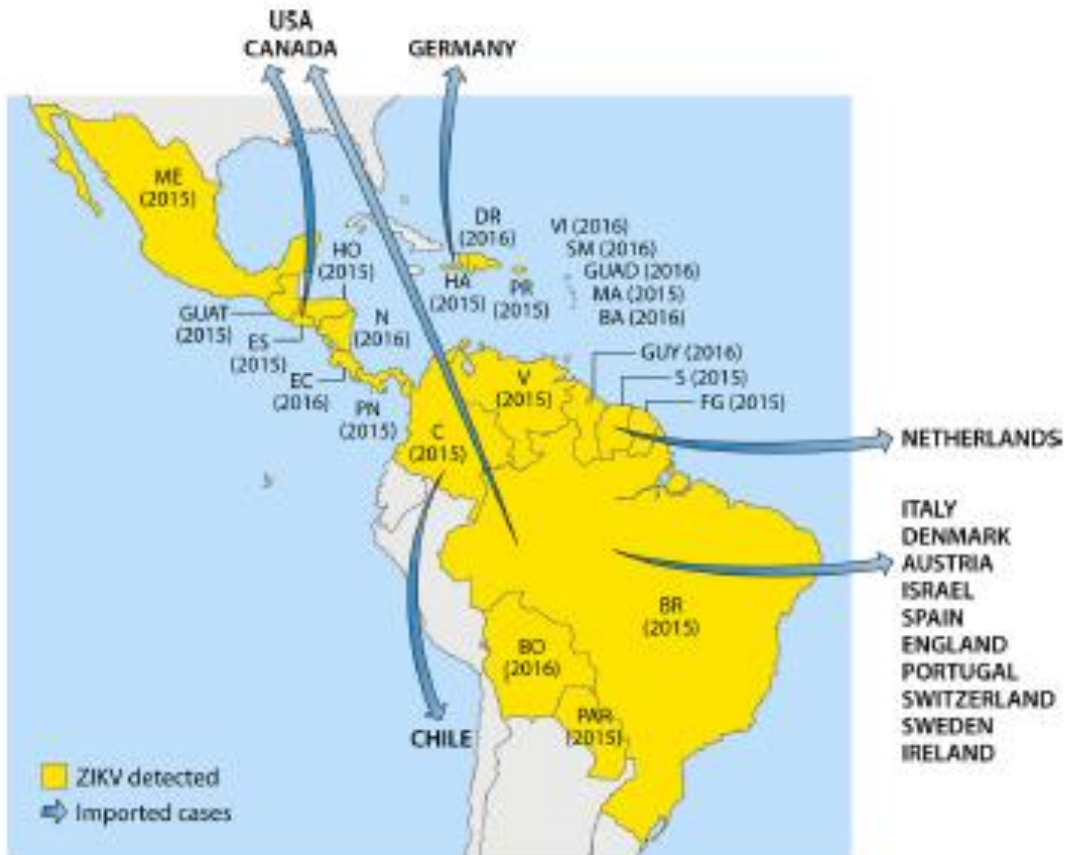


FIG 3 American countries in which ZIKV circulation has been reported up to January 2016. Abbreviations: ME, Mexico; DR, Dominican Republic; VI, Virgin Islands; SM, Saint Martin; GUAD, Guadeloupe; MA, Martinique; BA, Barbados; HA, Haiti; PR, Puerto Rico; HO, Honduras; GUAT, Guatemala; N, Nicaragua; ES, El Salvador; EC, Costa Rica; PN, Panama; V, Venezuela; GUY, Guyana; S, Suriname; FG, French Guiana; C, Colombia; BR, Brazil; BO, Bolivia; PAR, Paraguay.

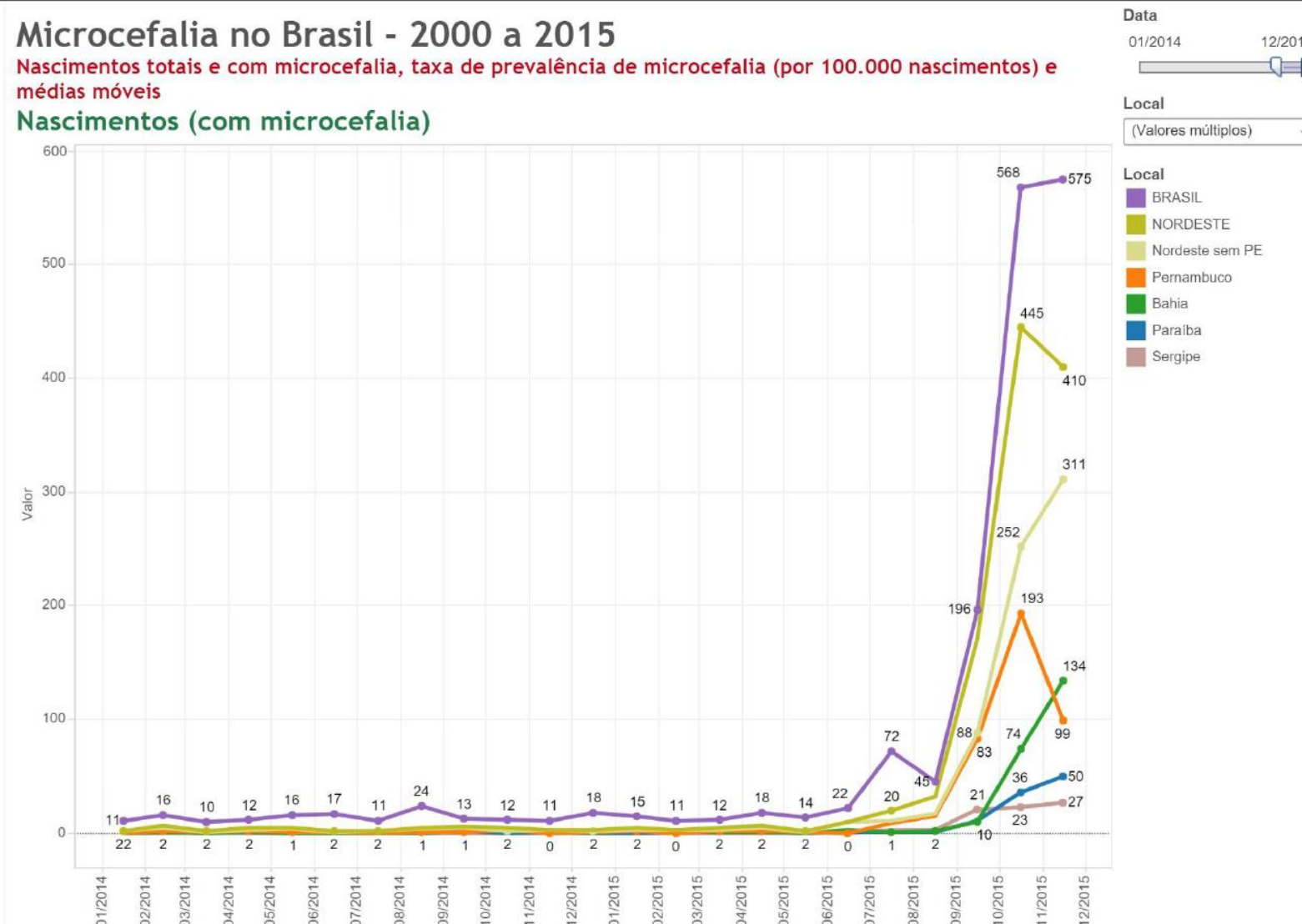
Microcephaly

PESQ

Microcefalia no Brasil - 2000 a 2015

Nascimentos totais e com microcefalia, taxa de prevalência de microcefalia (por 100.000 nascimentos) e médias móveis

Nascimentos (com microcefalia)



**2015 – primeiros casos
Casos suspeitos - CP≤ 33cm**

2016
CP ≤ 31.9 cm
CP ≤ 31.5 cm



Teorias da conspiração

- Vacinas vencidas
- Mosquitos transgênicos
- Larvicidas

LINHA DO TEMPO DO ZIKA VIRUS

Dezembro 2014/
Janeiro 2015
Surto doença
exantemática
diferente da
dengue

Início 2015

SSE=PE
Inicia protocolo de
investigação do
surto (Sarampo,
parvovirus,
rubeola)

MARÇO

Dez 2014

Argumentos:

Novo padrão:

- ✓ Um surto de D. exantemática de grandes proporções.
"Especialistas afirmam que não é compatível com dengue" = isto por si só é suficiente para uma investigação.

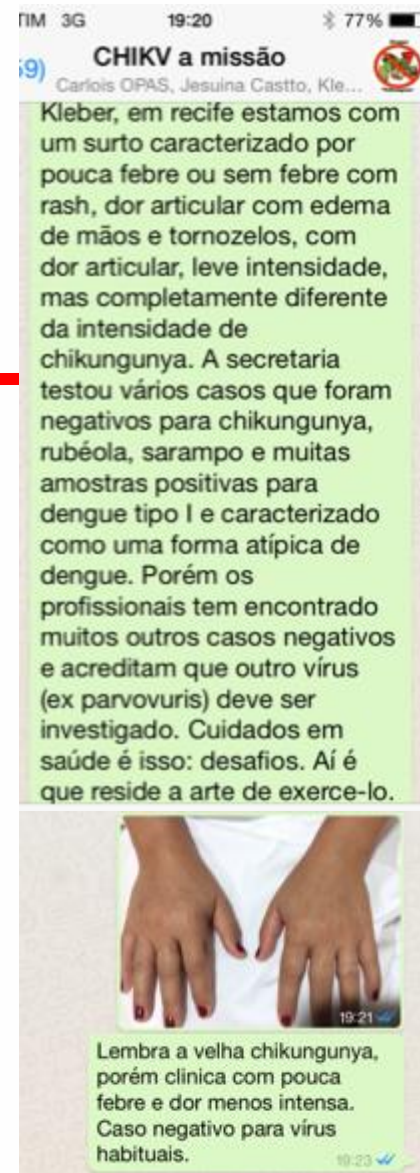
- Doença de leve intensidade
- Rash predominante
- Afebril ou subfebril
- Artritogênica
- Conjuntivite frequente

MARÇO 2013

Impressão da
assistência= pouco
provável
Padrão de
dispersão
compatível com
arbovirose

Aumento número
de casos:

- ✓ As discussões
são intensas no
grupo ChikV



Março 2015
Dra. Kleber Luz-
RN

Baseado no
padrão
artritogênico,
levanta a
hipótese de Zika

27 MARÇO 2015



Adapted Carlos Brito

Casos típicos

PESQ



Adapted Carlos Brito

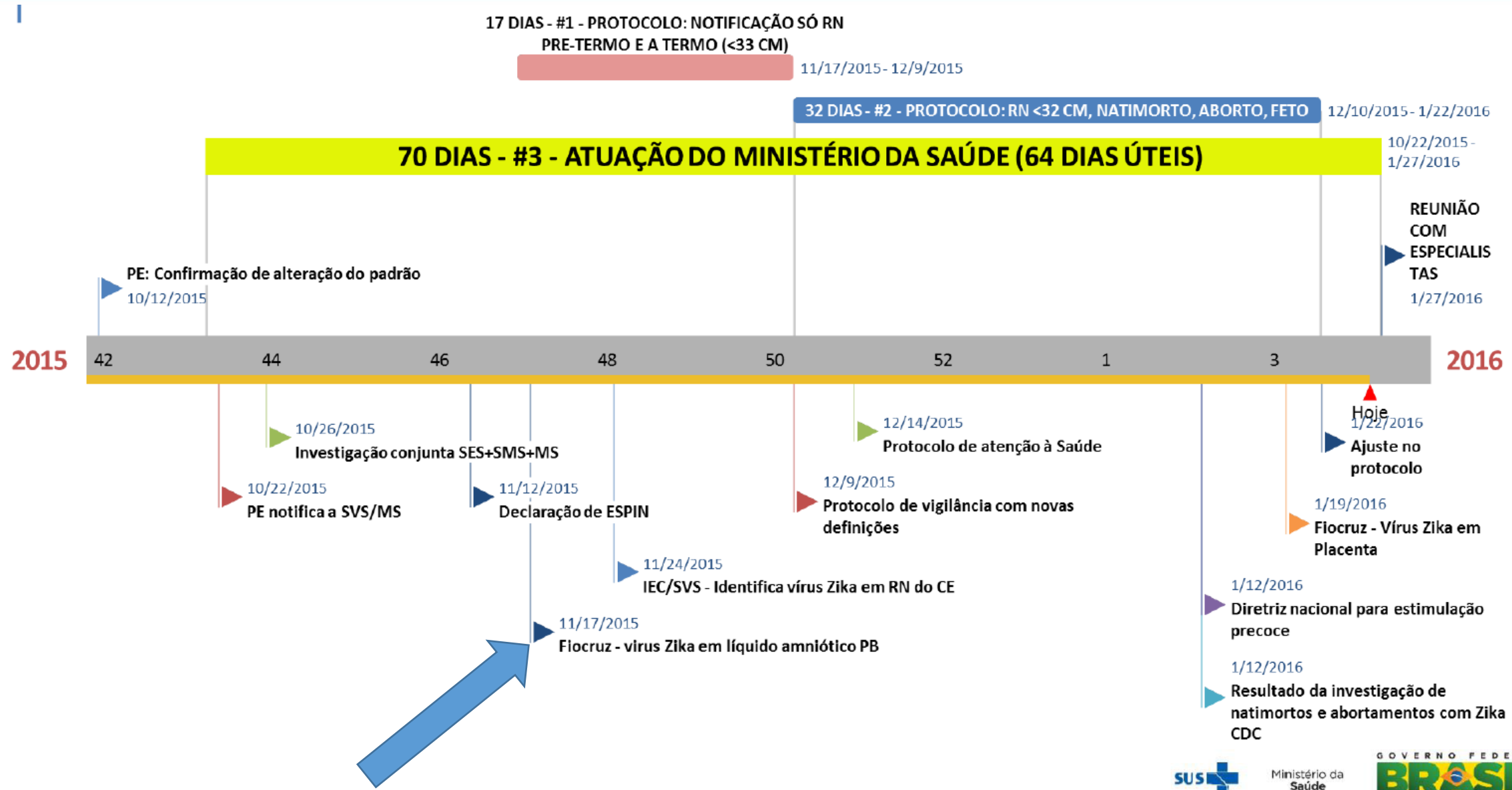
Zika virus

Sinais/Sintomas	Dengue	Zika	Chikungunya
Febre (duração)	Acima de 38°C (4 a 7 dias)	Sem febre ou subfebril ≤ 38°C (1-2 dias subfebril)	Febre alta > 38°C (2-3 dias)
Manchas na pele (Frequência)	Surge a partir do quarto dia 30-50% dos casos	Surge no primeiro ou segundo dia 90-100% dos casos	Surge 2-5 dia 50% dos casos
Dor nos músculos (Frequência)	+++/+++	++/+++	+/+++
Dor na articulação (frequência)	+/+++	++/+++	+++/+++
Intensidade da dor articular	Leve	Leve/Moderada	Moderada/Intensa
Edema da articulação	Raro	Frequente e leve intensidade	Frequente e de moderada a intenso
Conjuntivite	Raro	50-90% dos casos	30%
Cefaleia (Frequência e intensidade)	+++	++	++
Prurido	Leve	Moderada/Intensa	Leve
Hipertrofia ganglionar (frequência)	Leve	Intensa	Moderada
Discrasia hemorrágica (frequência)	Moderada	ausente	Leve
Acometimento Neurológico	Raro	Mais frequente que Dengue e Chikungunya	Raro (predominante em Neonatos)

Fonte: Carlos Brito – Professor da Universidade Federal de Pernambuco (atualização em dezembro/2015)

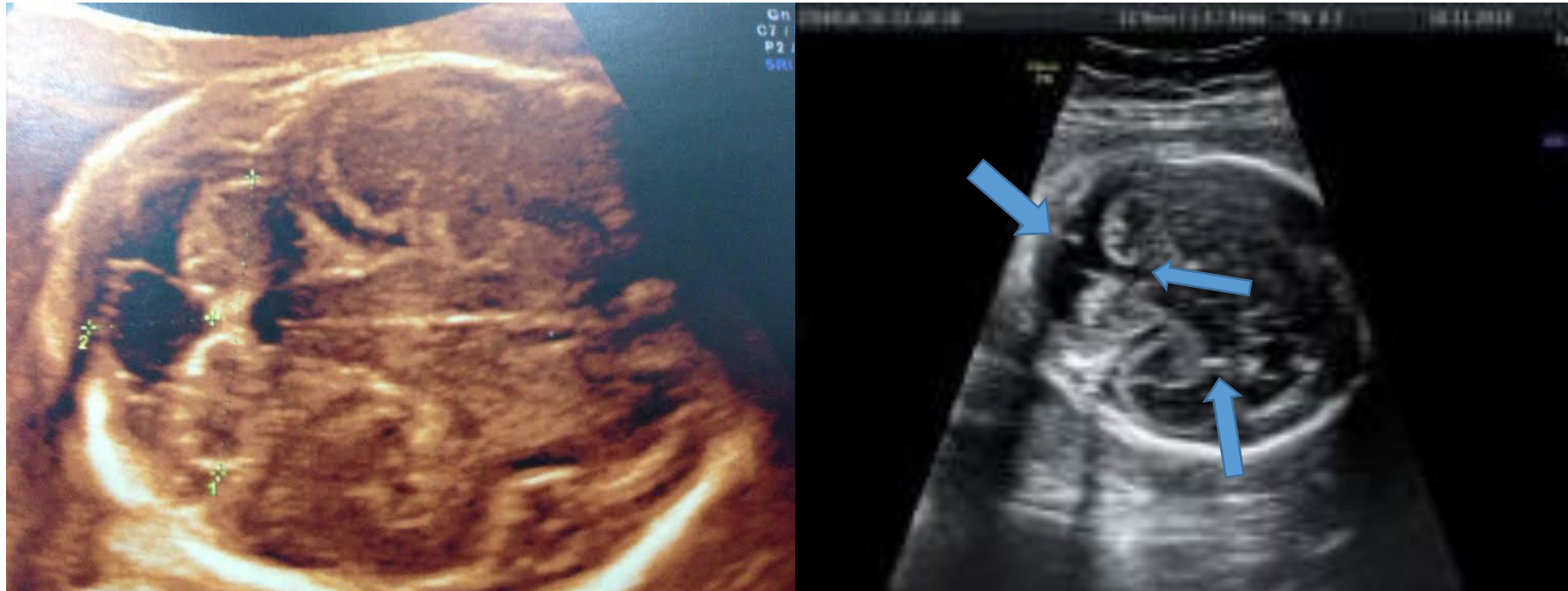
LINHA DO TEMPO DA MICROCEFALIA

IPESQ



Por que ZIKA?

IPEEQ



Outubro 2015 – Campina Grande – Paraíba - Brasil
Vermis cerebelar hipoplásico + calcificações

60 casos similares em Pernambuco com história de rash cutâneo na gravidez

Nota técnica da SES - PE

Neurotropismo

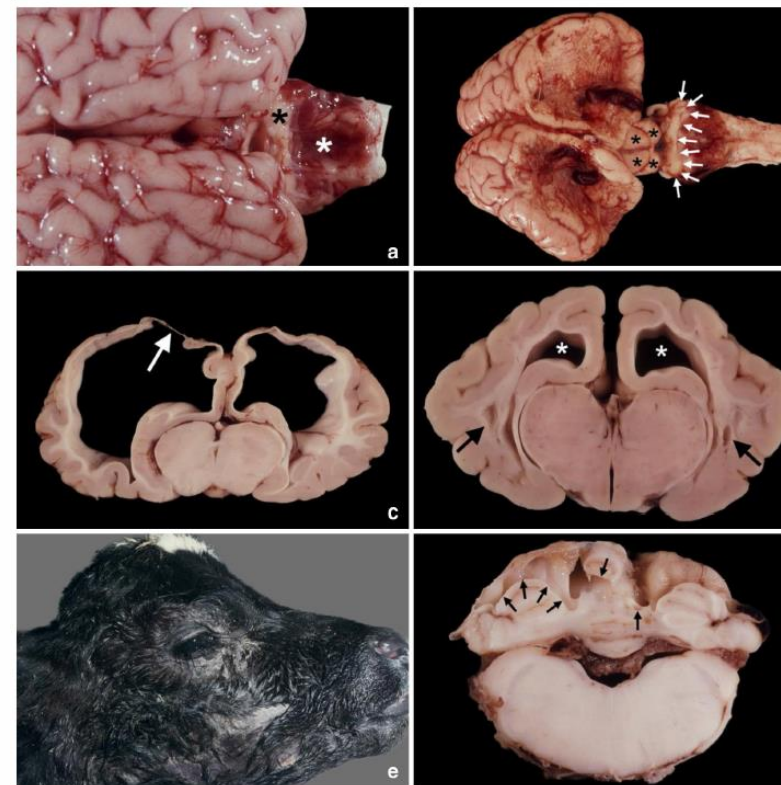
Defined diagnosis based on clinical and neurological manifestations

Diagnostic	N	%
ADEM	5	7.3
ADEM (NMO like)	1	1.5
Encephalitis	2	2.9
Meningoencephalitis	4	5.9
Meningomyelitis	1	1.5
Transverse myelitis	1	1.5
Optic neuritis	9	13.2
VI nerve palsy	1	1.5
Polyradiculoneuritis	1	1.5
Rhomboencephalitis	1	1.5
Guillain-Barré syndrome	40	58.8

Por que ZIKA?



Figure 1 Lamb born dead with severe arthrogryposis (persistent flexion of the joints): arthrogryposis is one of the congenital abnormalities associated with viral infection.



Javanbakht J et al. 2014. Neuropathological microscopic features of abortions induced by Bunyavirus / or Flavivirus infections. Diagn Pathol.

Agerholm JS et al. 2015. Virus-induced congenital malformations in cattle. Acta Vet Scand.

WHY ZIKA?

PESQ

November, 2015 – Campina Grande – Paraiba – Brazil

Amniocentesis and subsequent quantitative real-time polymerase chain reaction, performed after ultrasound diagnosis of fetal microcephaly and analyzed at the Oswaldo Cruz Foundation, Rio de Janeiro, Brazil (cases 1 and 2)

Zika virus intrauterine infection causes fetal brain abnormality and microcephaly: tip of the iceberg?

A. S. Oliveira Melo¹, G. Malinge^{2,*}, R. Ximenes³, P. O. Szejnfeld⁴, S. Alves Sampaio⁵ and A. M. Bispo de Filippis⁵

Article first published online: 5 JAN 2016

DOI: 10.1002/uog.15831

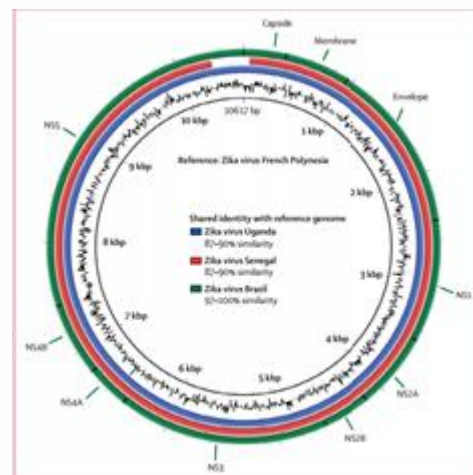
Copyright © 2015 ISUOG. Published by John Wiley & Sons Ltd.

Issue



Ultrasound in Obstetrics & Gynecology
Volume 47, Issue 1, pages 6–7, January 2016

FREE



Zika Virus Associated with Microcephaly

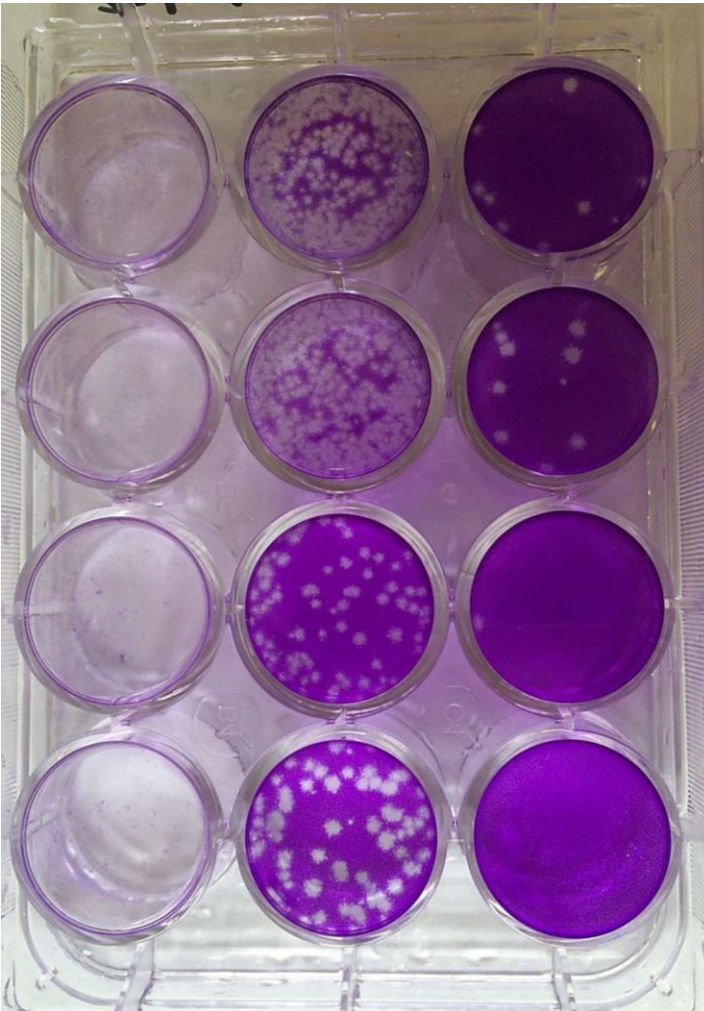
Jernej Mlakar, M.D., Misa Korva, Ph.D., Nataša Tul, M.D., Ph.D., Mara Popović, M.D., Ph.D., Mateja Poljšak-Prijatelj, Ph.D., Jerica Mraz, M.Sc., Marko Kolenc, M.Sc., Katarina Resman Rus, M.Sc., Tina Vesnaver Vipotnik, M.D., Vesna Fabjan Vodušek, M.D., Alenka Vizjak, Ph.D., Jože Pižem, M.D., Ph.D., Miroslav Petrovec, M.D., Ph.D., and Tatjana Avšič Županc, Ph.D.

Detection and sequencing of Zika virus from amniotic fluid of fetuses with microcephaly in Brazil: a case study

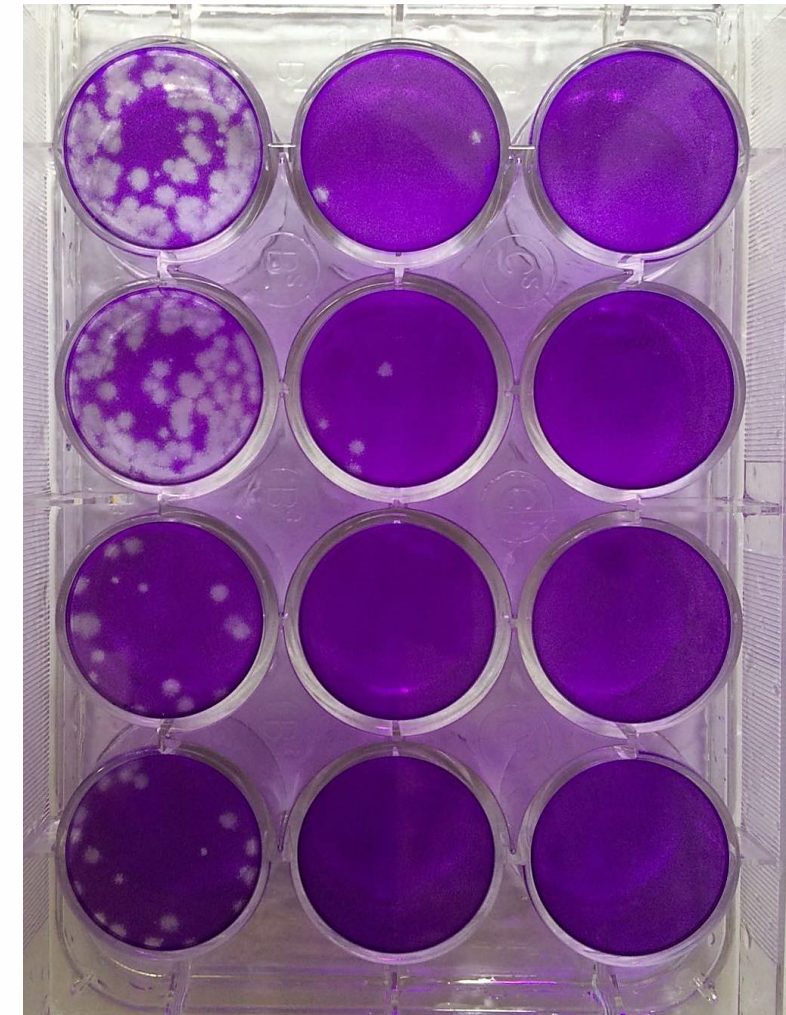
Guilherme Calvet*, Renato S Aguiar*, Adriana S O Melo, Simone A Sampaio, Ivano de Filippis, Allison Fabri, Eliane S M Araujo, Patricia C de Sequeira, Marcos C L de Mendonça, Louisi de Oliveira, Diogo A Tschoeke, Carlos G Schrago, Fabiano L Thompson, Patricia Brasil, Flavia B dos Santos, Rita M R Nogueira, Amilcar Tanuri†, Ana M B de Filippis

Findings We detected the Zika virus genome in the amniotic fluid of both pregnant women. The virus was not detected in their urine or serum. Tests for dengue virus, chikungunya virus, *Toxoplasma gondii*, rubella virus, cytomegalovirus, herpes simplex virus, HIV, *Treponema pallidum*, and parvovirus B19 were all negative. After sequencing of the complete genome of the Brazilian Zika virus isolated from patient 1, phylogenetic analyses showed that the virus shares 97–100% of its genomic identity with lineages isolated during an outbreak in French Polynesia in 2013, and that in both envelope and NS5 genomic regions, it clustered with sequences from North and South America, southeast Asia, and the Pacific. After assessing the possibility of recombination events between the Zika virus and other flaviviruses, we ruled out the hypothesis that the Brazilian Zika virus genome is a recombinant strain with other mosquito-borne flaviviruses.

African reference 766



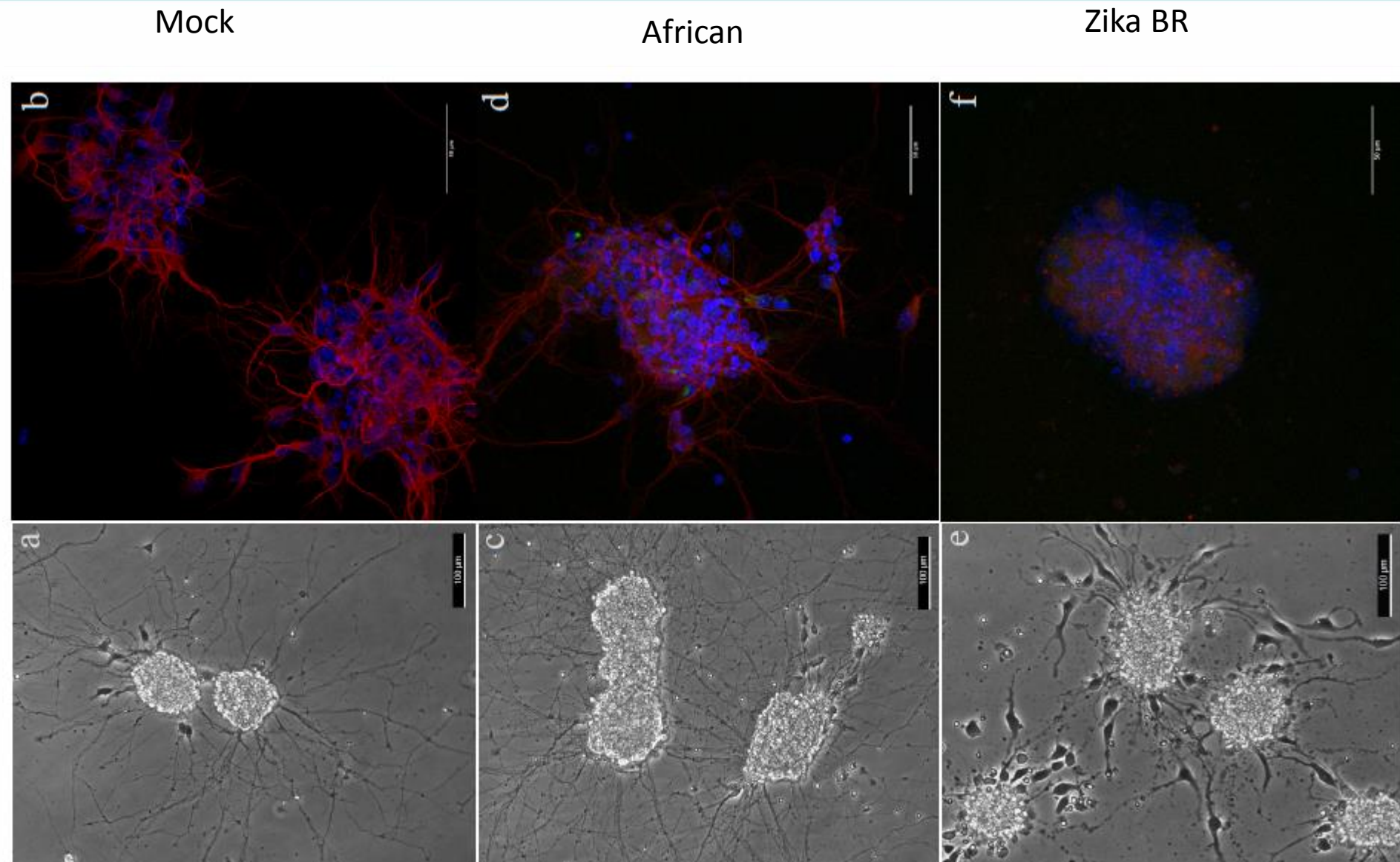
Zika Br



Adapted Tanuri et al

Zika infected neurospheres

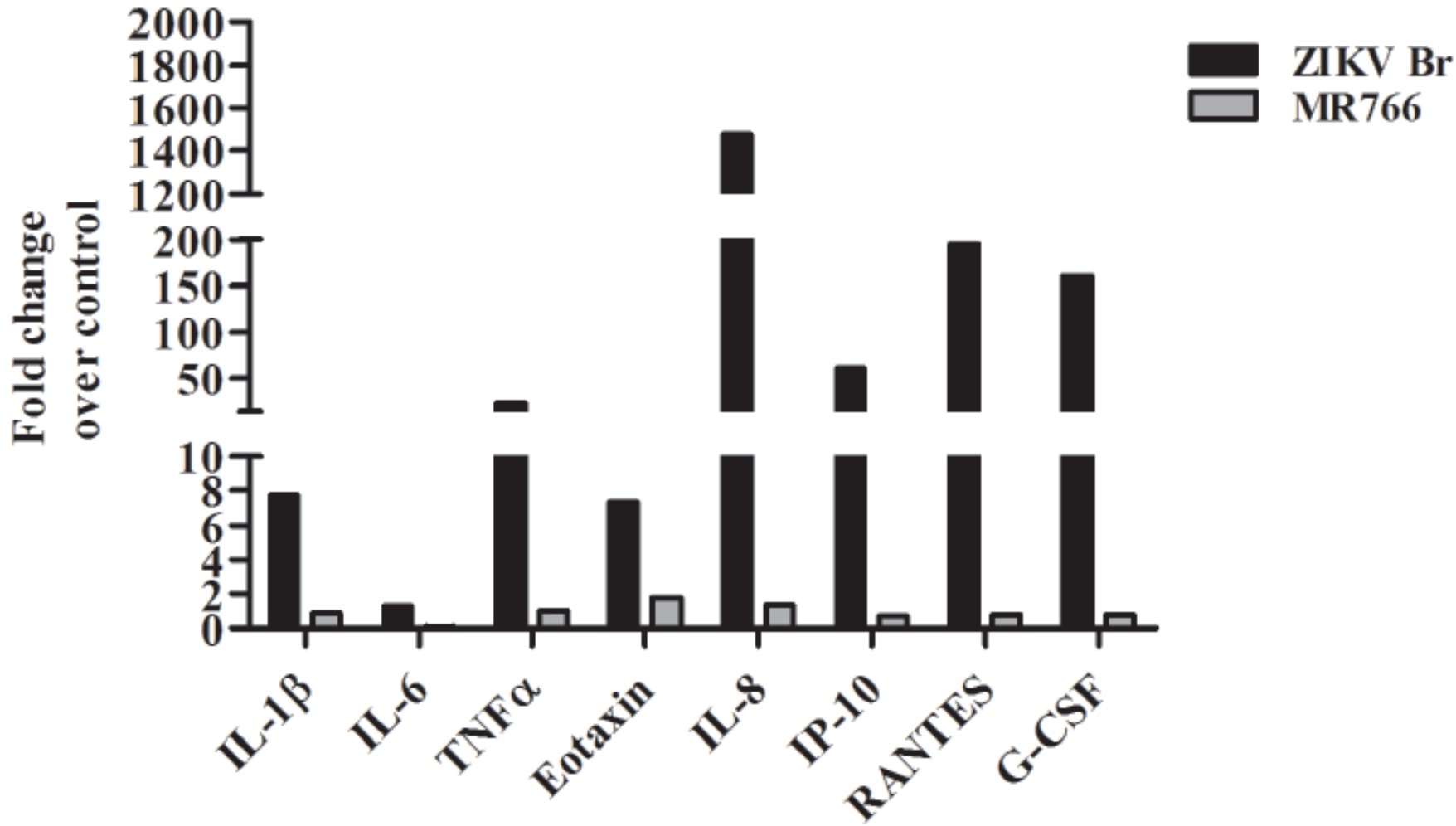
IPESQ



Map-2 (red) microtubule associated protein: neuronal differentiation

Immune-activation of ZIKV Br versus African

PESQ



Adapted Tanuri et al



Neurological damage (mainly brain atrophy) – 62 cases

- 59 cases - Newborns
 - 8 died less than 48 hours
 - 3 fetuses
- 13 cases detected the zika virus in amniotic fluid, cord blood or tissue (brain and placenta)

Origin

12 living in Campina Grande

50 residents of nearby cities

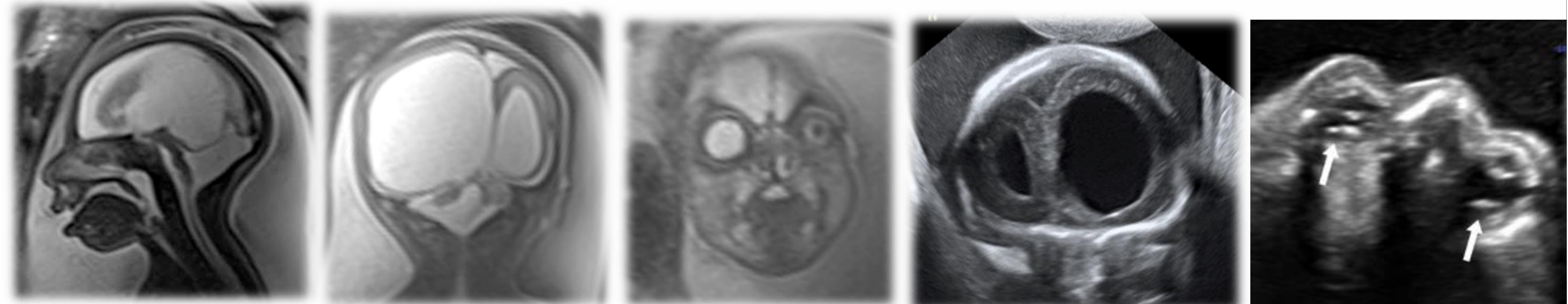


Caso #1

Idade gestacional ao nascer 41 semanas

Perímetro céfálico 36.5 cm (microcefalia compensada pela ventriculomegalia). Morte com - 48 horas

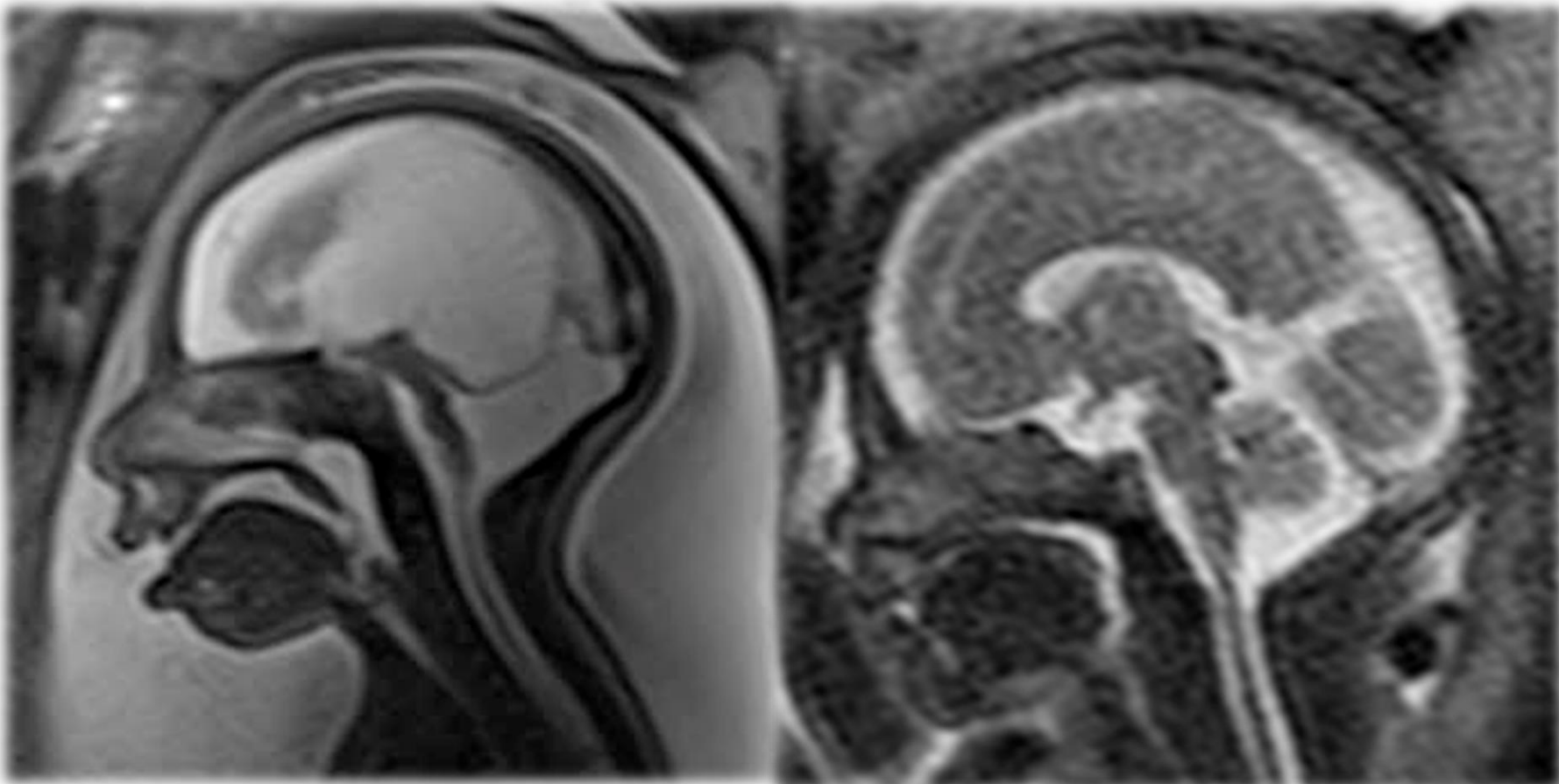
Um hemisfério cerebral fixado em formol, pesando 38 g



CASE 1

PESQ

Case 1 X Normal

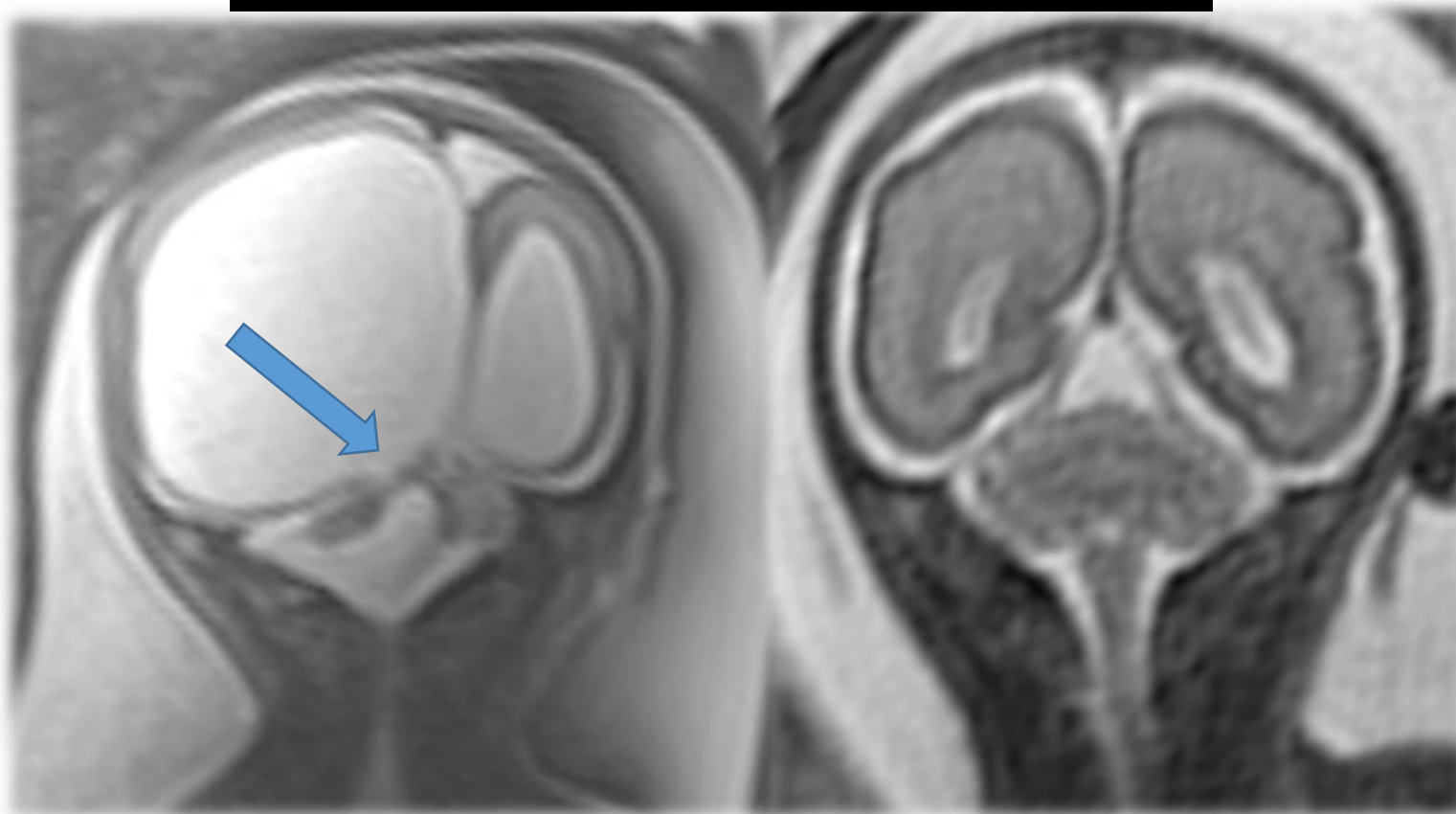


Patricia Szejnfeld

CASE 1

PESQ

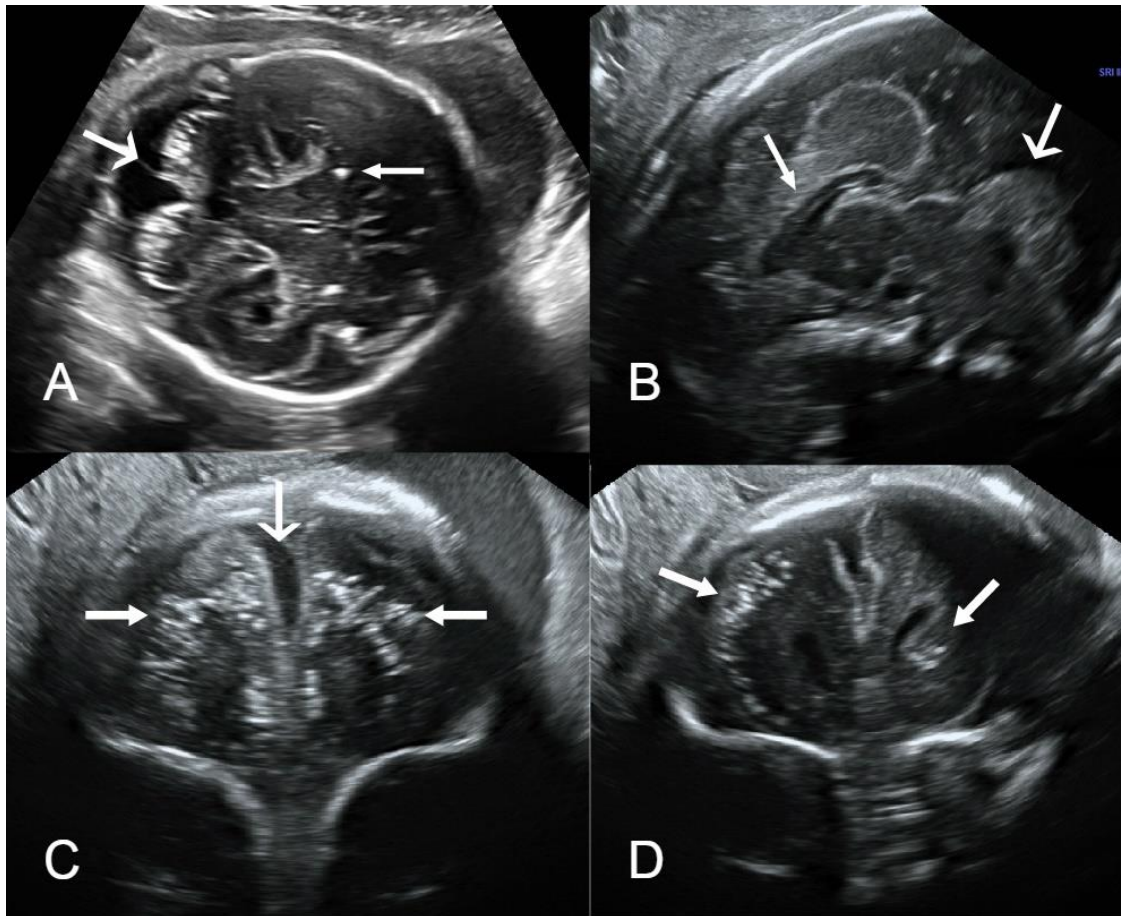
Case 1 X Normal



Patricia Szejnfeld

CASE 2 – symptoms 8 weeks

PESQ



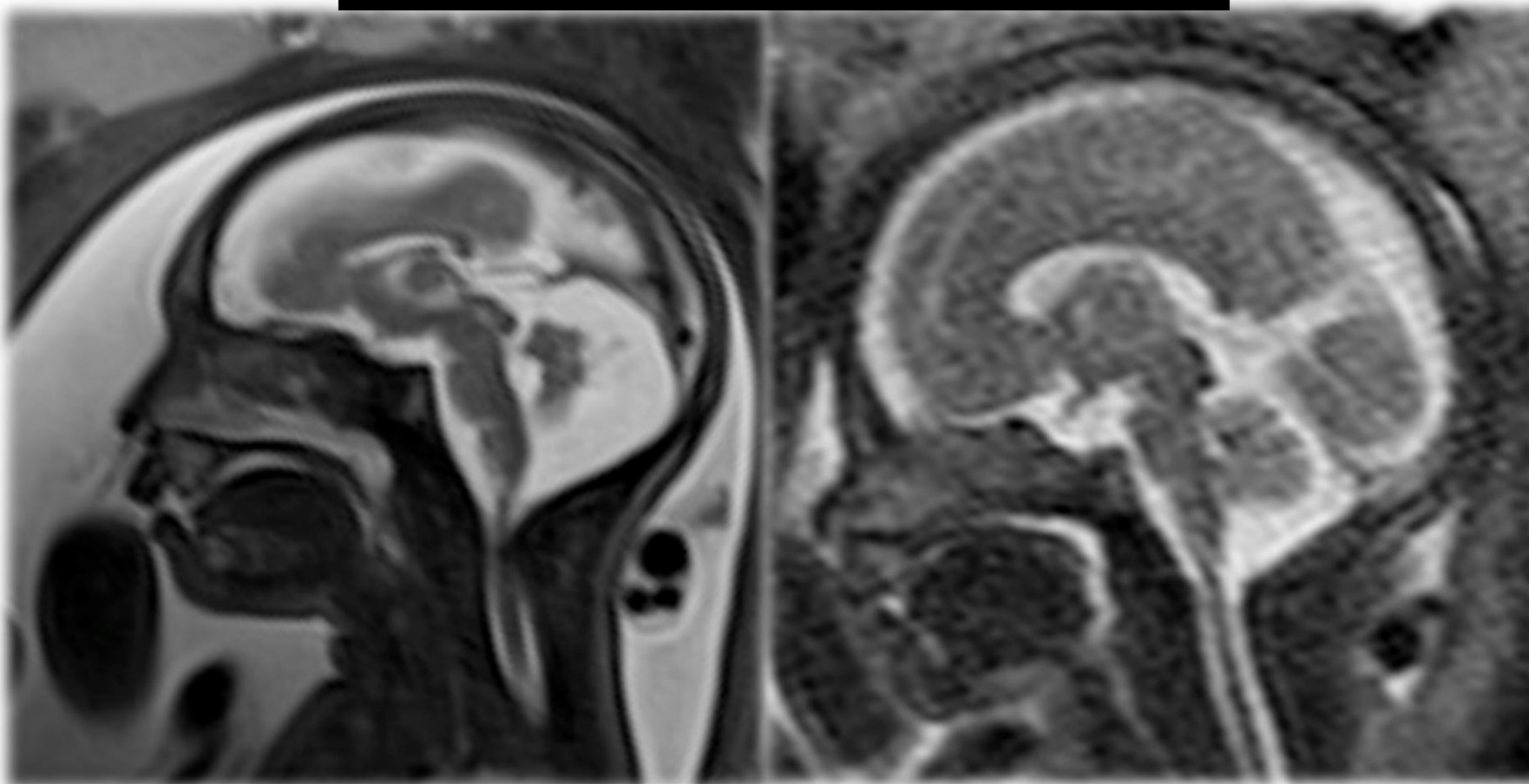
- (a) Transabdominal axial ultrasound image shows cerebral calcifications with failure of visualization of a normal vermis (large arrow). Calcifications are also present in the brain parenchyma (small arrow).
- (b) Transvaginal sagittal image shows dysgenesis of the corpus callosum (small arrow) and vermis (large arrow).
- (c) Coronal plane shows a wide interhemispheric fissure (large arrow) due to brain atrophy and bilateral parenchymatic coarse calcifications (small arrows).
- (d) Calcifications are visible in this more posterior coronal view and can be seen to involve the caudate (arrows).

Oliveira Melo AS, Malinger G, Ximenes R, Szejnfeld PO, Alves Sampaio S, Bispo de Filippis AM. [Zika virus intrauterine infection causes fetal brain abnormality and microcephaly: tip of the iceberg?](#) Ultrasound Obstet Gynecol. 2016;47:6-7

CASE 2

PESQ

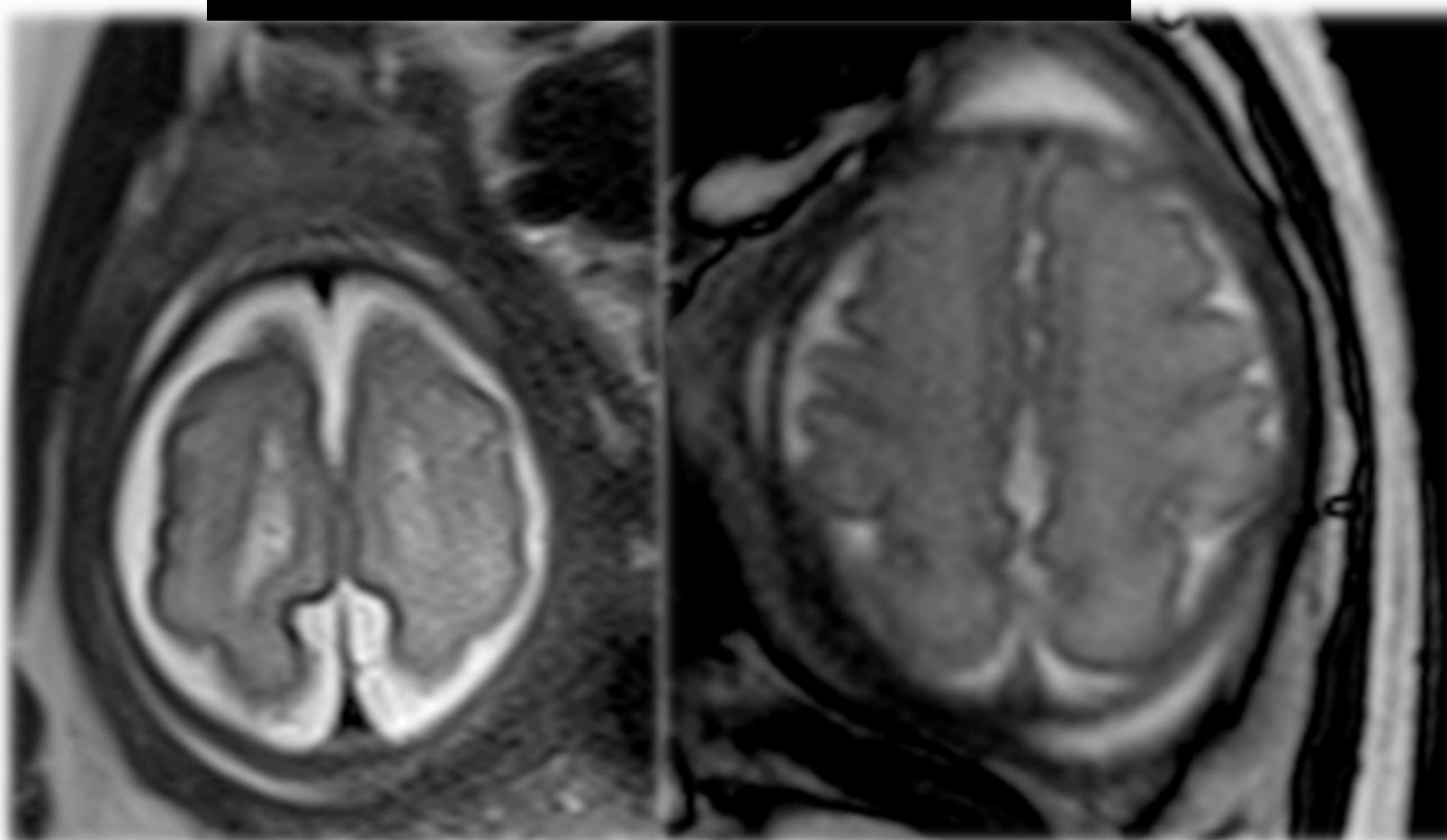
Case 2 X Normal



Patricia Szejnfeldc

CASE 2

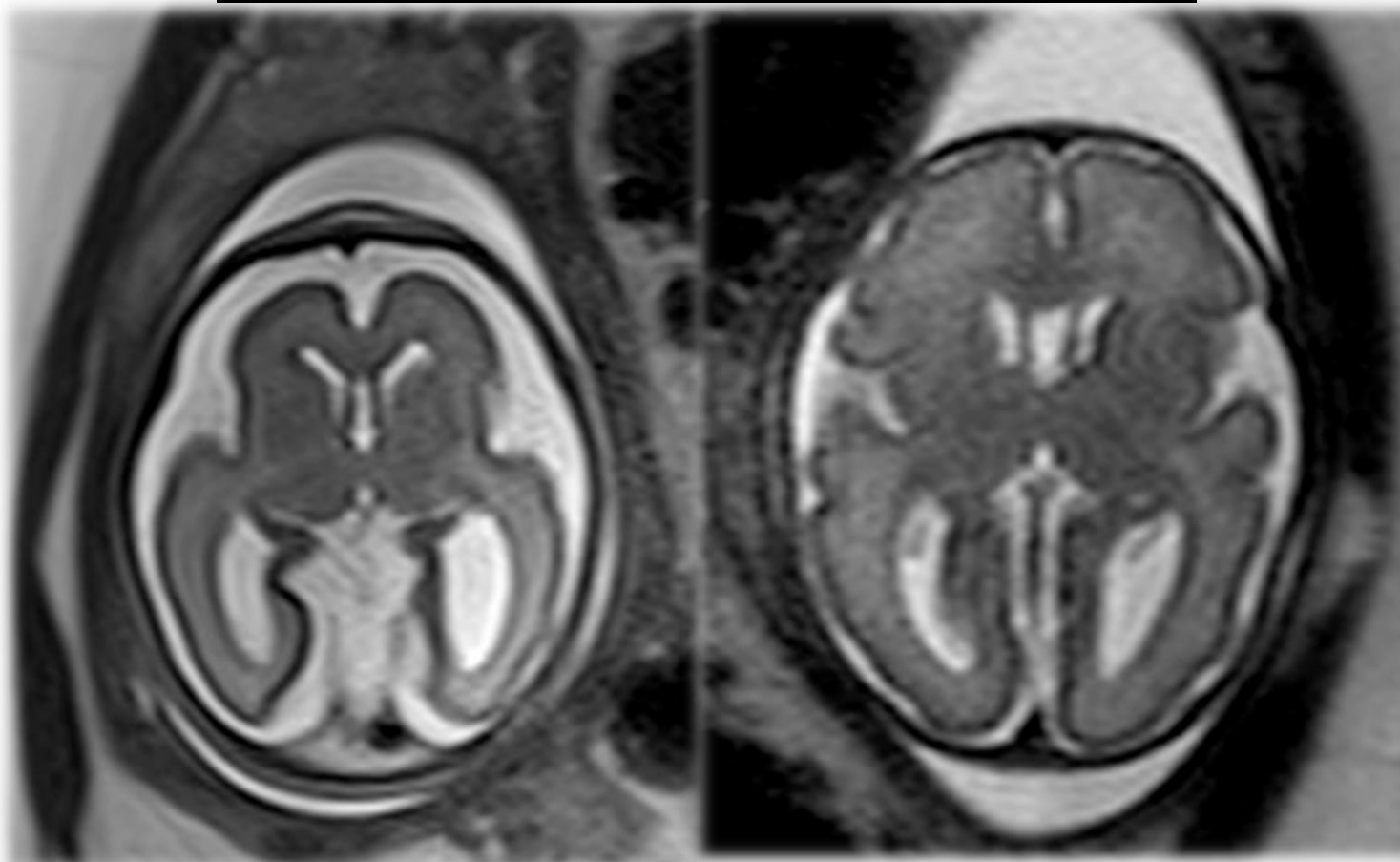
Case 2 X Normal



Patricia Szejnfeld

CASE 2

Case 2 X Normal



Patricia Szejnfeld

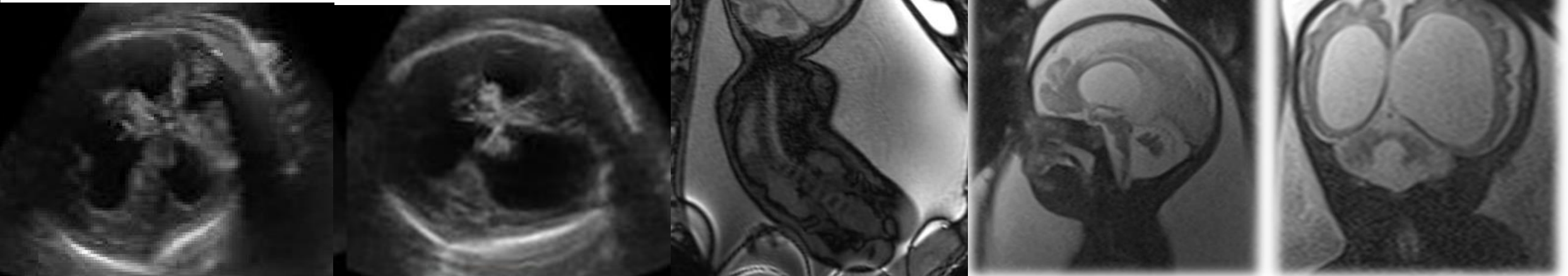


Case # 7

Idade gestacional ao nascimento 36 semanas

Perímetro céfálico 35 cm (microcefalia compensada pela ventriculomegalia). Morte - 48 hours

Um hemisfério cerebral fixado em formol, pesando 112g,



Fetal akinesia deformation and Polyhydramnios - neurological sequelae

PESQ



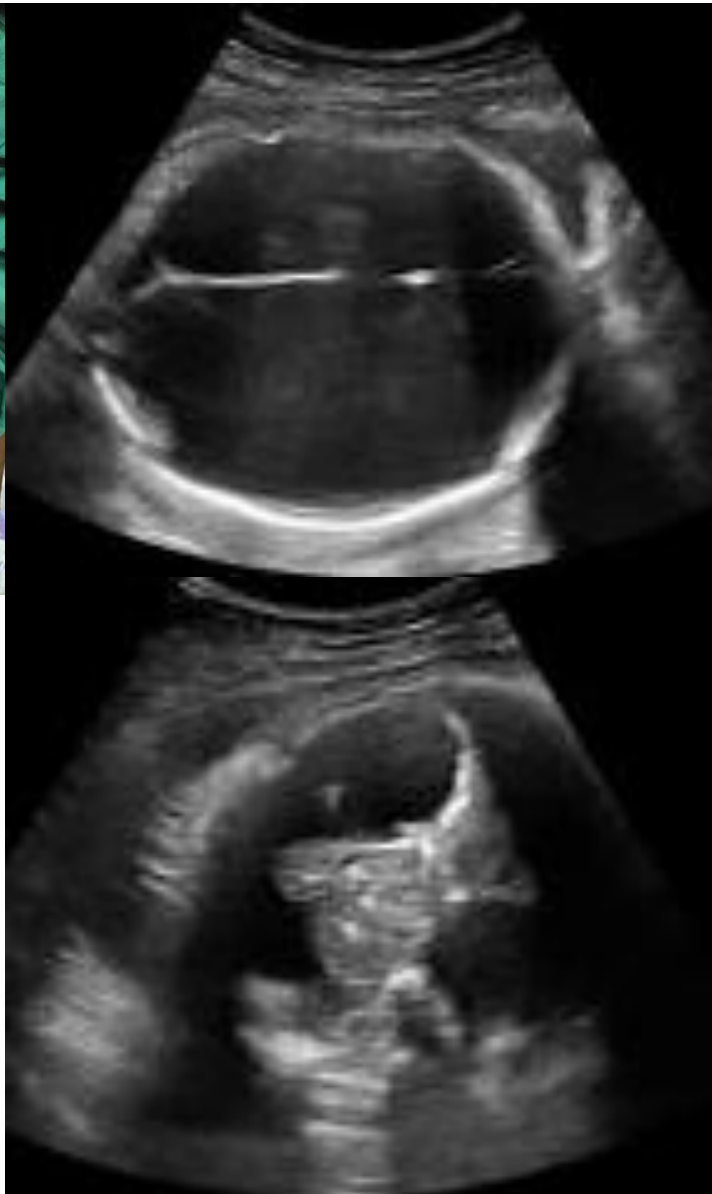
Fetal akinesia deformation and Polyhydramnios - neurological sequelae

PESQ



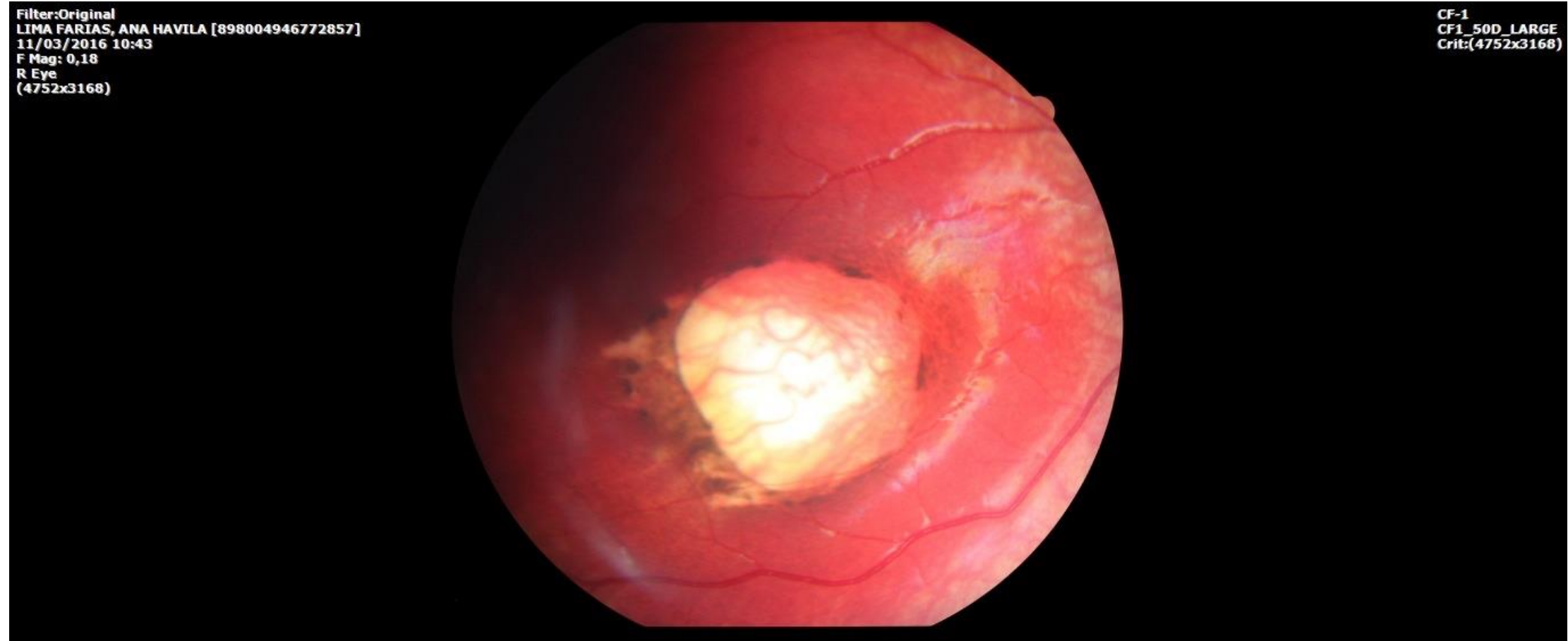
Fetal screening: Is justified?

PESQ

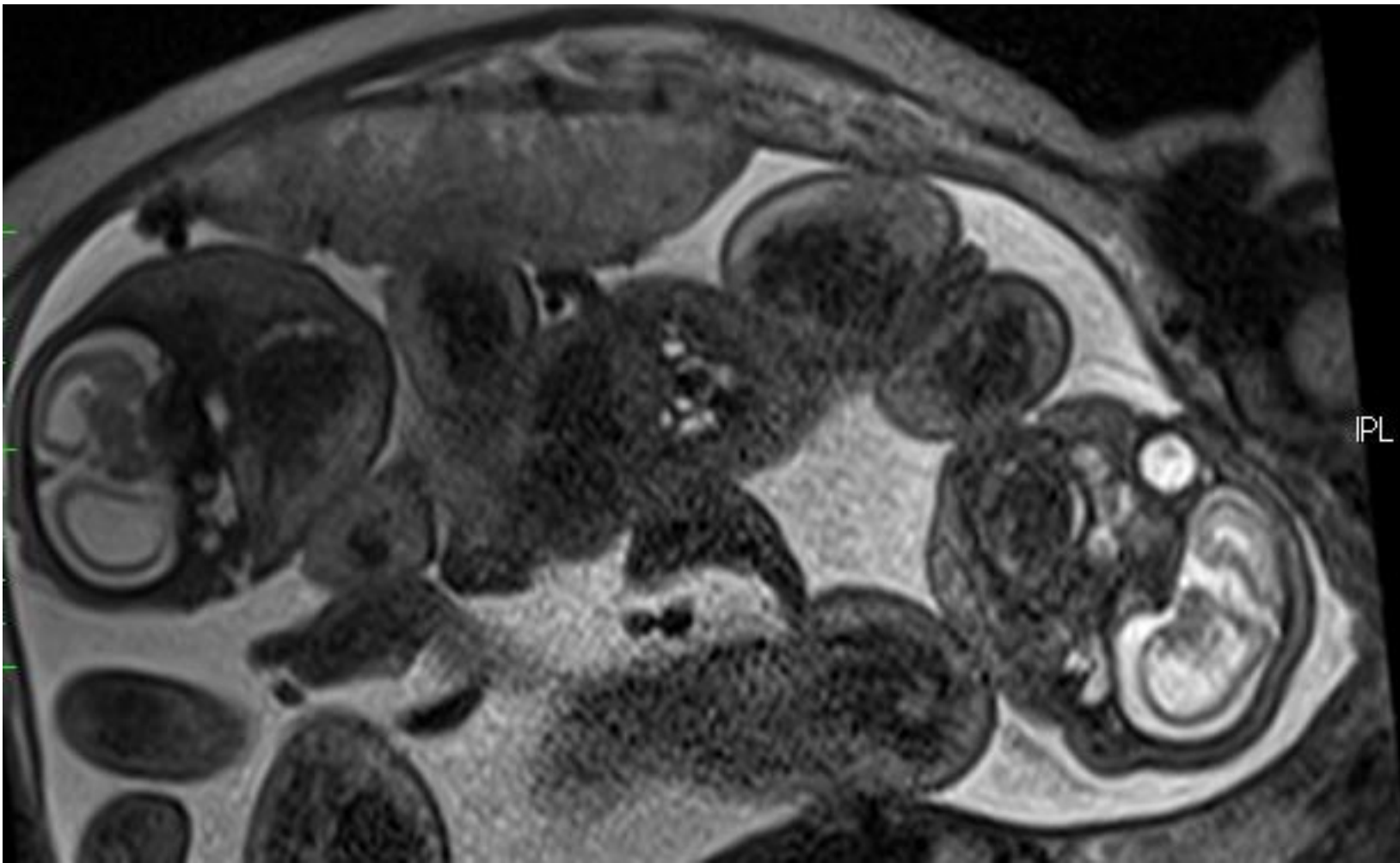


PCR + amniotic fluid

placa de atrofia corioretiniana em região macular



Vilar e colaboradores





Hospital Pedro I – Campina Grande

PESQ





Grupo de terapia com mães de bebês com microcefalia

E é só microcefalia????



Cortesia Carlos Brito

E é só microcefalia????

PESQ



Cortesia Carlos Brito



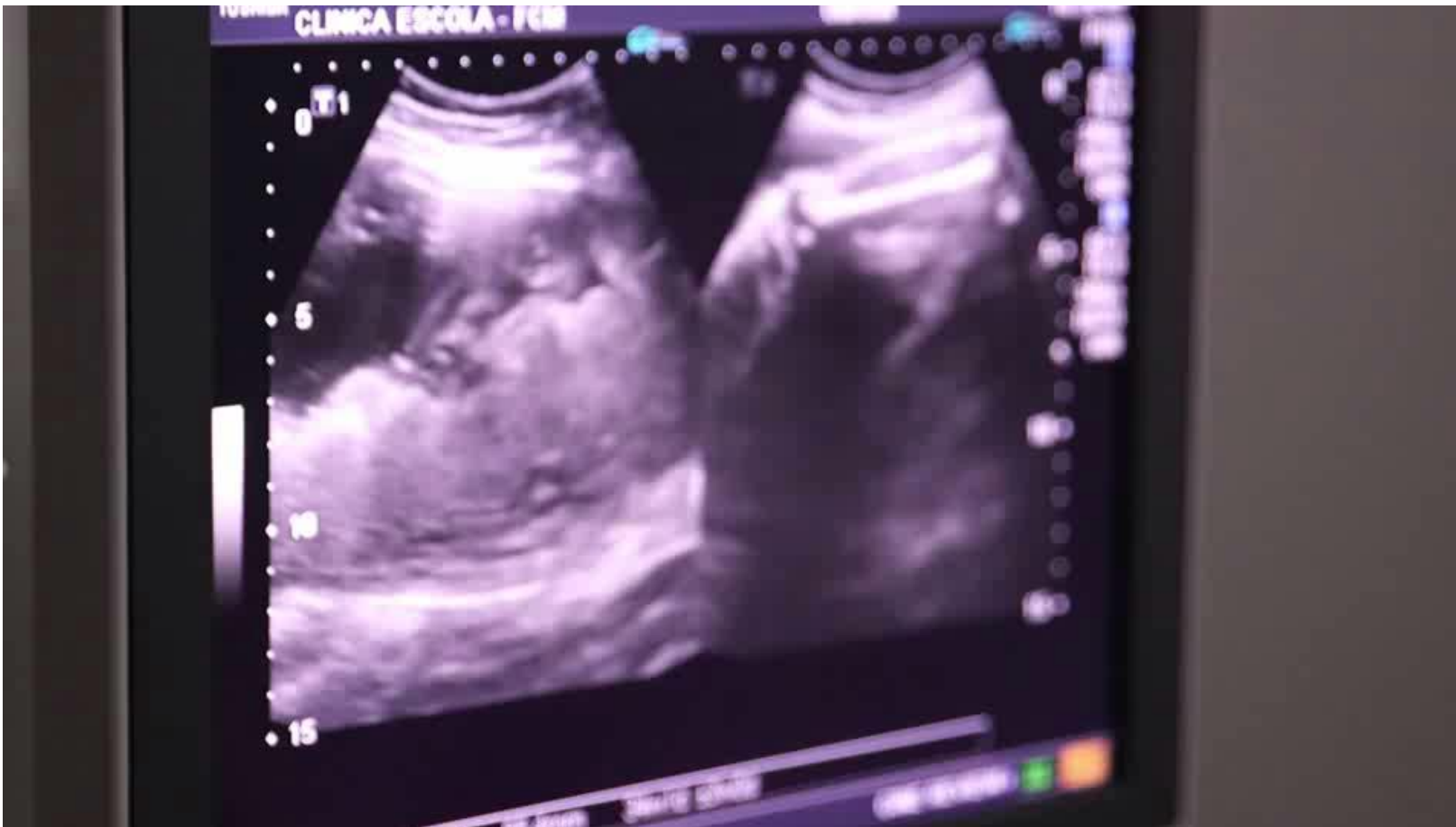
Mães de bebês com microcefalia têm dificuldade para receber benefício do INSS

A demora para atendimento ainda é consequência da greve dos peritos do INSS.

GLOBOPLAY.GLOBO.COM

Incidência maior nas periferias

Mães na maioria extremamente pobres



Podemos continuar de braços cruzados????



- A situação é mais grave do que está sendo vinculada
- Qualquer situação atípica deve ser investigada
- Mortes inexplicadas estão ocorrendo em todas as faixas etárias
- Sabemos muito pouco desse vírus que está sendo considerado um dos piores vírus identificados nos últimos tempos
- Qualquer um pode ser vítima, incluindo nossas famílias (hoje e no futuro)
- O ChikV tem um alto potencial de lesão articular, aumentando o risco de doenças que culminem no afastamento do trabalho e necessidade de reabilitação (Sobrecarga do setor de reabilitação e da Previdência -- Geração de sequelados (microcefalia, encefalites, artrose, syndrome túnel do carpo...))
- É essencial que a sociedade civil, em ações conjuntas com gestão pública, universidades, estudantes vêm para as ruas. Estamos em situação de Guerra.
- Cruzar os braços significa que seremos co-responsáveis por essas crianças sequeladas e pelas mortes ocorridas.
- ESTE É O MOMENTO PARA ENTENDER A DOENÇA, ANTES QUE ELA FIQUE FORA DO CONTROLE
- AS CRIANÇAS JÁ NASCIDAS SÃO VITIMAS E PRECISAMOS ESQUECER QUE SÃO NÚMEROS. É NOSSO DEVER OFERECER ASSISTÊNCIA DIGNA

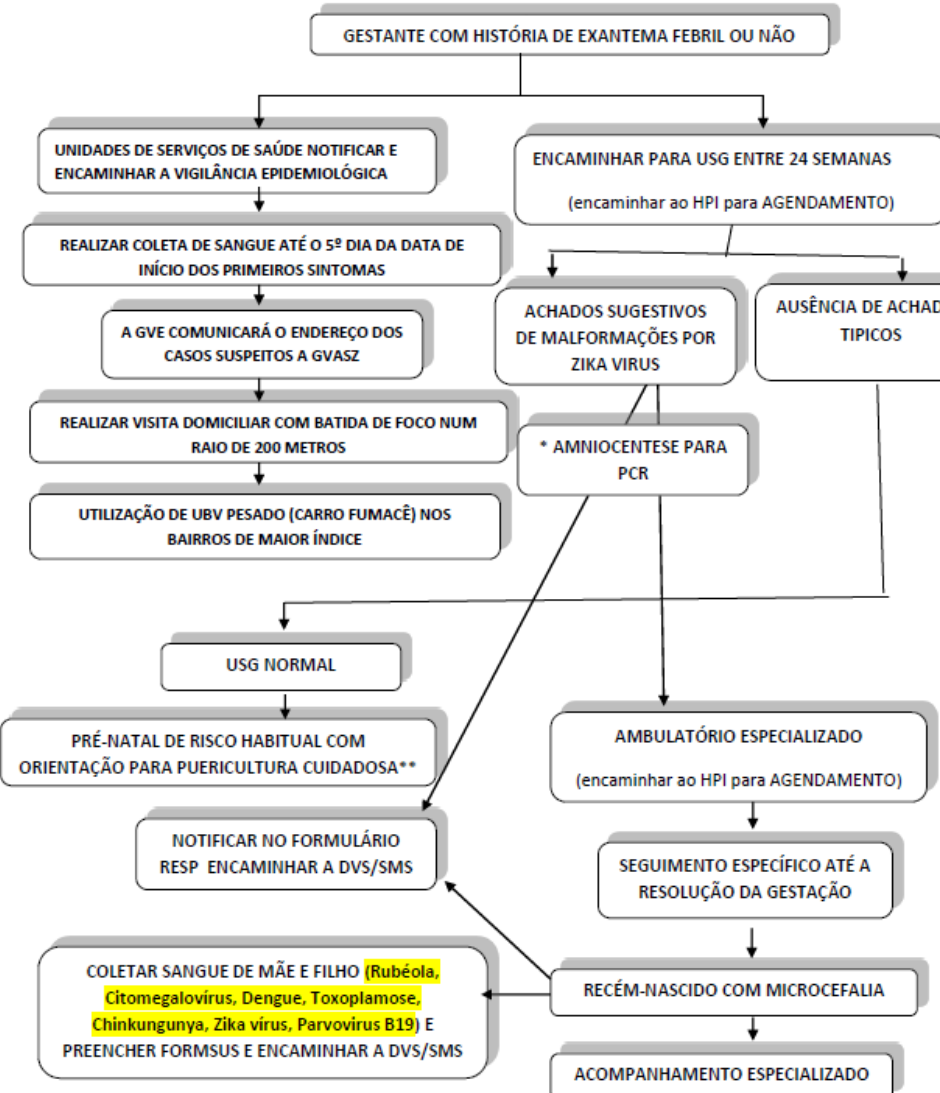
O que o nosso grupo já descobriu?

- Parada de migração e proliferação dos neurônios motores
- Presença de células embrionárias
- Mudança em proteína

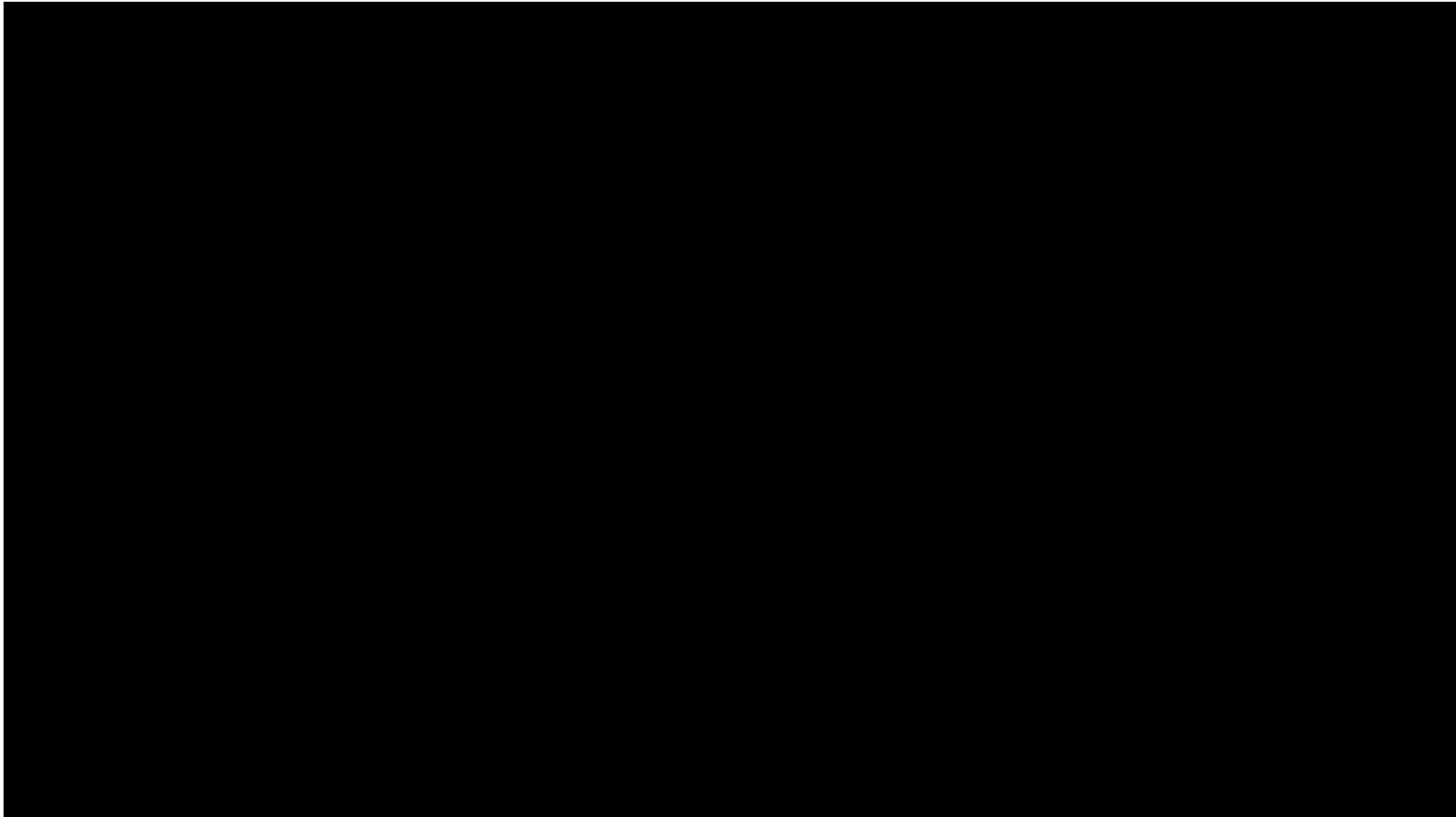
Qual nosso diferencial?

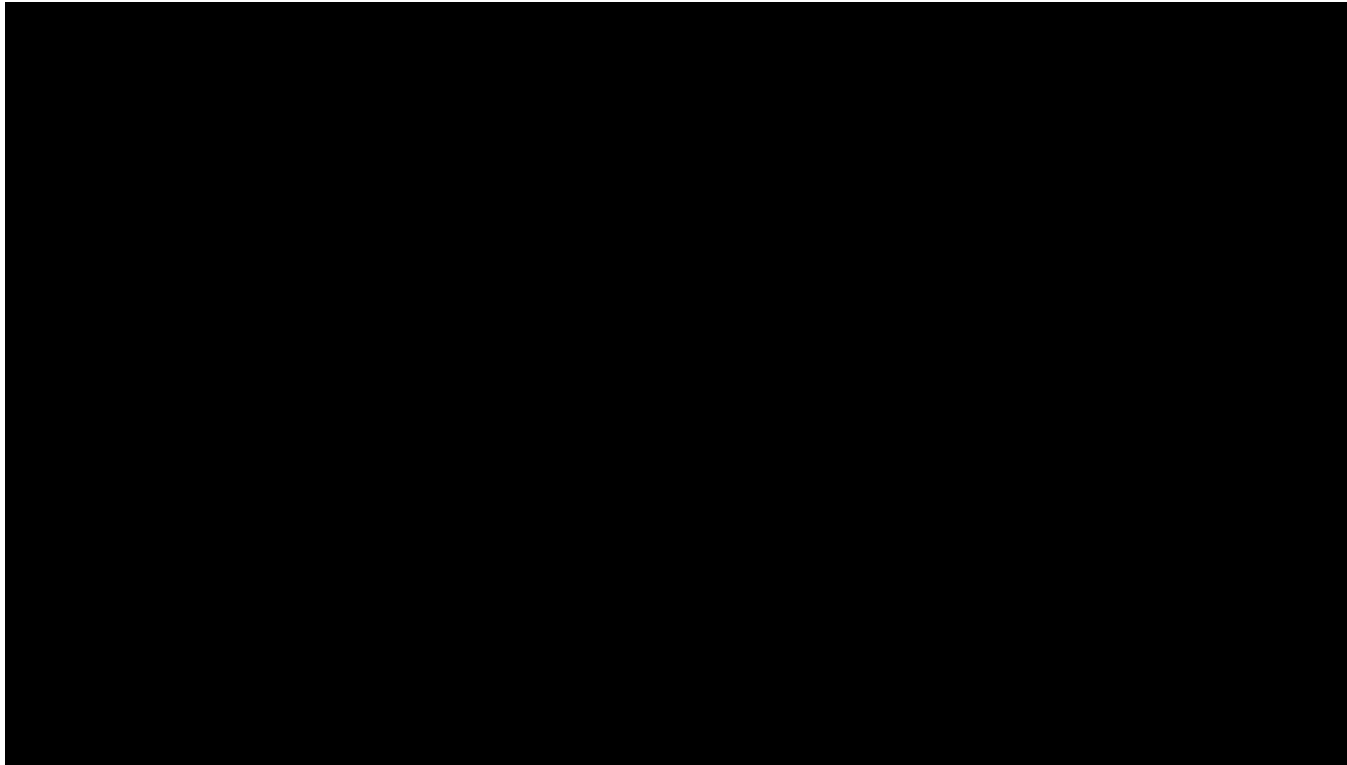
Quais os próximos passos?

PROCEDIMENTO OPERACIONAL PADRÃO PARA MONITORAMENTO E ACOMPANHAMENTO DE CASOS DE MICROCEFALIA ASSOCIADA A EXANTEMA



Hospital Pedro I – Campina Grande

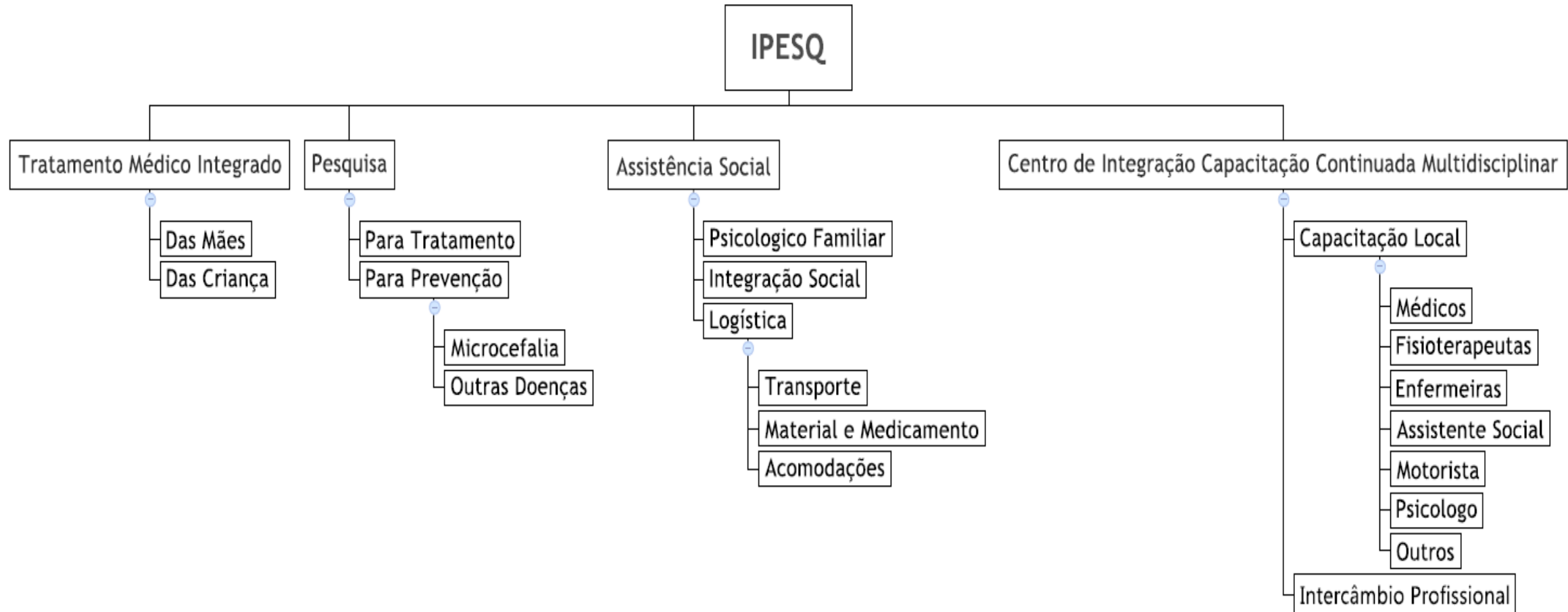




Por que ainda não temos evidências?



- Investimento em pesquisas
- Equipamentos necessários
- Sorologia eficiente e disponível
- Centro especializado para assistência e pesquisa



Agradecimentos



- Ultrasound – volunteer
- Amniocentesis - PMCG
- Magnetic Resonance - PMCG
- Ophthalmologist - volunteer
- Neurologist - volunteer
- Legist doctor – volunteer
- Radiologist – volunteer (FIDI e Instituto D'Or)
- Transportation – own resources
- Análise do material enviado – Fiocruz e UFRJ

asomelo@gmail.com



AEDES AEGYPTI

PESQ





INSTITUTO DE PESQUISA
PROFESSOR JOAQUIM AMORIM NETO